

一类四次椭圆 Hamilton 向量场在三次多项式下的扰动

赵丽琴^{①*}, 王琦^②

① 北京师范大学数学科学学院, 数学与复杂系统教育部重点实验室, 北京 100875

② 河北科技大学理学院数学系, 石家庄 050018

* E-mail: zhaoliqin@bnu.edu.cn

收稿日期: 2007-01-13; 接受日期: 2008-09-12

国家自然科学基金(批准号: 10671020)资助项目

摘要 本文研究一类四次椭圆 Hamilton 向量场在所有三次多项式下的扰动, 证明了如下结论: (1) 除全局中心外, 围绕一个中心定义的 Abel 积分的孤立零点的个数不超过 12; (2) 存在一个三次系统, 它在扰动前属于一个鞍点环的情形, 而在扰动后至少存在 3 个极限环.

关键词 Abel 积分 椭圆 Hamilton 向量场 同宿分支

MSC(2000) 主题分类 58F14, 58F21, 58F30, 34C05

1 引言

众所周知, 常微分方程在刻画自然现象中具有重要的作用, 然而, 由于缺乏得力的理论工具, 我们很难对非线性微分方程的解做出全面的研究, 比如确定极限环的个数和位置. 由于 Liénard 方程

$$\dot{x} = y, \quad \dot{y} = P(x) + yQ(x) \quad (1.1)$$

包含了著名的 Van der Pol 方程

$$\ddot{x} + \alpha\phi(x)\dot{x} + x = 0 \quad (1.2)$$

和 Duffing 方程

$$\ddot{x}(t) + \delta\dot{x}(t) - x + x^3 = 0, \quad (1.3)$$

(1.1) 式在非线性力学、电子学等学科中具有重要的作用. 遗憾的就是对这种方程, Hilbert 第 16 问题仍然没有解决, 同时在局部分支理论中也常常遇到 Liénard 方程. Liénard 方程 (1.1) 称为是 (m, n) -型的, 如果 $\deg P = m$ 以及 $\deg Q = n$.

于是在文献 [1-4] 中, Dumortier 和 Li 系统地研究了 $(3, 2)$ -型的 Liénard 方程 $\dot{x} = y, \dot{y} = P(x)$ 在 $\delta y(x^2 + \beta x + \alpha) \frac{\partial}{\partial y}$ 扰动下 Abel 积分零点的个数和极限环的个数, 其中 $0 < \delta \ll 1$, $(\delta, \beta, \alpha) \in \mathbb{R}^3$ 是任意常数. 经过适当的尺度变换, Hamilton 函数 $\frac{1}{2}y^2 + \int_0^x P(s)ds$ 可以化为

$$H(x, y) = \frac{1}{2}y^2 + \frac{a}{4}x^4 + \frac{b}{3}x^3 + \frac{c}{2}x^2, \quad (a, b, c) \in \mathbb{R}^3, a \neq 0. \quad (1.4)$$

引用格式: 赵丽琴, 王琦. 一类四次椭圆 Hamilton 向量场在三次多项式下的扰动. 中国科学 A, 2009, 39(4): 433-448
Zhao L Q, Wang Q. Perturbations from a kind of quartic. Sci China Ser A, 2009, 52(3): 427-442, DOI: 10.1007/s11425-009-0009-7

换句话讲, 文献 [1–4] 研究了如下系统的分支现象:

$$\dot{x} = y, \quad \dot{y} = -(ax^3 + bx^2 + cx) + (\delta x^2 y + \delta \beta xy + \delta \alpha y), \quad (1.5)$$

其中 $(a, b, c, \delta, \beta, \alpha) \in \mathbb{R}^6$ 为任意常数, $a \neq 0$ 且 $0 < \delta \ll 1$.

本文将研究向量场

$$\dot{x} = y, \quad \dot{y} = -(ax^3 + bx^2 + cx), \quad \forall (a, b, c) \in \mathbb{R}^3, a \neq 0, \quad (X_0)$$

在一般三次多项式扰动下的分支现象, 即我们要讨论如下向量场

$$\begin{cases} \dot{x} = y + \varepsilon \sum_{0 \leq i+j \leq 3} p_{ij} x^i y^j =: H_y + \varepsilon P_3(x, y), \\ \dot{y} = -(ax^3 + bx^2 + cx) + \varepsilon \sum_{0 \leq i+j \leq 3} q_{ij} x^i y^j =: -H_x + \varepsilon Q_3(x, y), \end{cases} \quad (\tilde{X}_\varepsilon)$$

Abel 积分孤立零点的个数和极限环的个数, 其中 p_{ij}, q_{ij} 和 ε 是任意常数, $0 < \varepsilon \ll 1$ (i, j 满足 $0 \leq i+j \leq 3$).

对任意 $(a, b, c) \in \mathbb{R}^3$ ($a \neq 0$), 向量场 (X_0) 的相图有 5 种不同的拓扑类型, 分别称为含两鞍点的多角环、鞍点的同宿环、全局中心、尖点环和双同宿环 (见图 1 (A)–(E)).

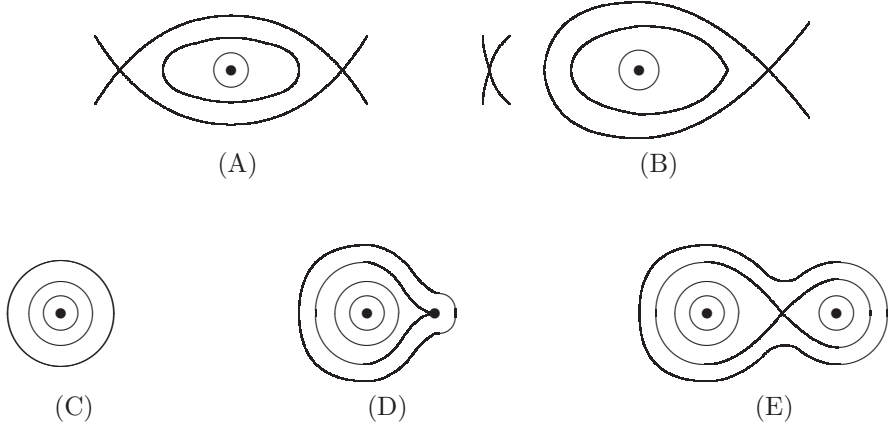


图 1

主要结论如下所示.

定理 1.1 考虑向量场 (X_0) 在一般三次多项式下的扰动, 即向量场 (\tilde{X}_ε) . 假设 $a (\neq 0), b$ 和 c 是任意常数, 使得 (X_0) 至少有一个中心, 则下列结论成立:

(i) 对 Abel 积分零点的个数, (\tilde{X}_ε) 等价于

$$\begin{cases} \dot{x} = y, \\ \dot{y} = -(ax^3 + bx^2 + cx) + \varepsilon(q_{01}y + q_{11}xy + q_{21}x^2y + q_{03}y^3). \end{cases} \quad (X_\varepsilon)$$

(ii) 对于情形 (A), (B), (D) 和 (E), (X_ε) 确定的围绕一个中心的 Abel 积分孤立零点的个数不超过 12.

(iii) 对于情形 (B), 存在常数 $a^*, b^*, c^*, q_{01}^*, q_{11}^*, q_{21}^*, q_{03}^*$ 和 $\varepsilon^* > 0$, 使得对应的向量场 (X_ε^*) 至少有 3 个极限环.

注 1.1 (i) 由于本文讨论向量场 (X_0) 在一般三次多项式下的扰动, 因此很难得到 Abel 积分零点和极限环个数的上确界. 另一方面, 文献 [1–4] 中的方法也不太适用.

(ii) 我们将应用广义 Rolle 定理 (在 Khovanskii 方法的意义下, 见第 3 节中的定理 B), 通过考察两条曲线交点的个数来完成定理 1.1 的证明.

(iii) 由文献 [1] 的定理 1 知, 对于情形 (B), 向量场 (1.5) 极限环个数的上确界为 2. 结合本文定理 1.1, 可以看出一般三次多项式的扰动确实能改变极限环的个数.

(iv) Zhao 和 Zhang^[5] 证明了向量场 (X_0) 在所有 n 次多项式扰动下对应的 Abel 积分零点的个数不超过 $7n + 5$. Liu^[6] 研究了情形 (E) 在所有 n 次多项式扰动下 Abel 积分零点的个数.

(v) 文献 [7–11] 研究了 Hamilton 函数 (1.4) 具有对称性时 Abel 积分零点的个数, 如 $H(x, y) = \frac{1}{2}y^2 + x^4 - x^2$, $H(x, y) = \frac{1}{2}y^2 + x^2 - x^4$. 这时, 大部分结论是用 Petrov 方法得到的.

本文的结构如下: 第 2 节首先证明定理 1.1(i), 然后给出 Abel 积分 $I(h)$ 的表达式和 $I_i(h)$ 的性质, $i = 1, 2, 3$. 第 3 节将给出 Abel 积分孤立零点个数的上界. 第 4 节完成定理 1.1 的证明.

2 预备知识

设 Γ_h 是由 $H(x, y) = h$ ($h \in \Sigma$) 定义的等位线, 其中 Σ 是能定义等位线的 h 的最大范围.

2.1 定理 1.1 (i) 的证明及 $I_i(h)$ 的相关性质

引理 2.1 对于 Abel 积分, 向量场族 (\tilde{X}_ε) 与向量场族 (X_ε) 等价.

证明 由文献 [11] 知, (\tilde{X}_ε) 的后继函数 (又称为 Mel'nikov 函数) 可表示为

$$M(h, \varepsilon) = \varepsilon(I(h) + o(\varepsilon)), \quad h \in \Sigma, \quad (2.1)$$

其中

$$I(h) = \oint_{\Gamma_h} P_3(x, y) dy - Q_3(x, y) dx \quad (2.2)$$

是 Abel 积分. 由 Green 公式,

$$I(h) = \int \int_{\text{int}\Gamma_h} \left(\frac{\partial P_3}{\partial x} + \frac{\partial Q_3}{\partial y} \right) dx dy,$$

其中

$$\begin{aligned} \frac{\partial P_3}{\partial x} + \frac{\partial Q_3}{\partial y} &= (p_{10} + q_{01}) + (2p_{20} + q_{11})x + (p_{11} + 2q_{02})y \\ &\quad + (3p_{30} + q_{21})x^2 + 2(p_{21} + q_{12})xy + (p_{12} + 3q_{03})y^2. \end{aligned}$$

设 $x_l(h)$ 和 $x_r(h)$ 是 Γ_h 与 x 轴交点的横坐标, $x_l(h) < 0 < x_r(h)$, 则当 $x \in (x_l(h), x_r(h))$ 时, Γ_h 可表示为

$$\begin{aligned} -y_+(x, h) &\leq y(x, h) \leq y_+(x, h), \\ y_+(x, h) &= \sqrt{2 \left[h - \left(\frac{a}{4}x^4 + \frac{b}{3}x^3 + \frac{c}{2}x^2 \right) \right]}, \quad h \in \Sigma. \end{aligned}$$

从而

$$I(h) = \int_{x_l(h)}^{x_r(h)} dx \int_{-y_+(x, h)}^{y_+(x, h)} F(x, y) dy,$$

其中

$$F(x, y) = (p_{10} + q_{01}) + (2p_{20} + q_{11})x + (3p_{30} + q_{21})x^2 + (p_{12} + 3q_{03})y^2.$$

注意到 p_{ij} 和 q_{ij} 是任意常数, 不失一般性, 可以假设 $p_{ij} \equiv 0$. 于是,

$$I(h) = \int \int_{\text{int}\Gamma_h} [q_{01} + q_{11}x + q_{21}x^2 + 3q_{03}y^2] dx dy.$$

因此, 向量场族 (X_ε) 与向量场族 (\tilde{X}_ε) 有相同的 Abel 积分, 即对于 Abel 积分, 两向量场族等价. 证毕.

为方便讨论, 记

$$I_i(h) = \oint_{\Gamma_h} x^i y dx, \quad h \in \Sigma, i = 0, 1, 2, \dots, \quad (2.3)$$

$$Q(h) = \frac{I_2(h)}{I_0(h)}, \quad h \in \Sigma, \quad (2.4)$$

$$\omega(h) = \frac{I''_1(h)}{I''_0(h)}, \quad \text{对 } h \in \Sigma \text{ 且 } I''_0(h) \neq 0. \quad (2.5)$$

引理 2.2 对系统 (X_ε) , Abel 积分 $I(h)$ 可表示为

$$I(h) = (\alpha_1 h + \alpha_2)I_0(h) + \beta I_1(h) + \gamma I_2(h), \quad (2.6)$$

其中

$$\alpha_1 = \frac{12}{5}q_{03}, \quad \alpha_2 = q_{01},$$

$$\beta = q_{11} + \frac{bc}{5a}q_{03}, \quad \gamma = q_{21} + \frac{b^2 - 3ac}{5a}q_{03}.$$

证明 由 (2.2) 式,

$$I(h) = q_{01}I_0(h) + q_{11}I_1(h) + q_{21}I_2(h) + \oint_{\Gamma_h} q_{03}y^3 dx. \quad (2.7)$$

沿着 Γ_h , 有

$$y^2 = 2h - \frac{a}{2}x^4 - \frac{2b}{3}x^3 - cx^2,$$

于是

$$\oint_{\Gamma_h} y^3 dx = 2hI_0(h) - \frac{a}{2}I_4(h) - \frac{2b}{3}I_3(h) - cI_2(h). \quad (2.8)$$

下面计算 $I_3(h)$ 和 $I_4(h)$. 沿着 Γ_h , 有

$$y dy + (ax^3 + bx^2 + cx)dx = 0. \quad (2.9)$$

由于 $\oint_{\Gamma_h} y^2 dy = 0$, 则

$$aI_3(h) + bI_2(h) + cI_1(h) = 0. \quad (2.10)$$

由 (2.9) 式,

$$xy^2 dy + (ax^4 + bx^3 + cx^2)y dx = 0. \quad (2.11)$$

注意到

$$\begin{aligned} \oint_{\Gamma_h} xy^2 dy &= \int \int_{\text{int}\Gamma_h} y^2 dx dy = \oint_{\Gamma_h} \frac{y^3}{3} dx \\ &= \oint_{\Gamma_h} \frac{2}{3}y \left[h - \frac{a}{4}x^4 - \frac{b}{3}x^3 - \frac{c}{2}x^2 \right] dx \\ &= \frac{2}{3} \left\{ hI_0(h) - \frac{a}{4}I_4(h) - \frac{b}{3}I_3(h) - \frac{c}{2}I_2(h) \right\}, \end{aligned}$$

及 (2.11) 式, 从而有

$$\frac{2h}{3}I_0(h) + \frac{5a}{6}I_4(h) + \frac{7b}{9}I_3(h) + \frac{2c}{3}I_2(h) = 0. \quad (2.12)$$

将 (2.10) 与 (2.12) 式代入 (2.8) 式得

$$\begin{aligned} \oint_{\Gamma_h} y^3 dx &= \frac{12h}{5}I_0(h) - \frac{b}{5}I_3(h) - \frac{3c}{5}I_2(h) \\ &= \frac{12h}{5}I_0(h) + \frac{b}{5} \cdot \frac{1}{a}(bI_2(h) + cI_1(h)) - \frac{3c}{5}I_2(h) \\ &= \frac{12h}{5}I_0(h) + \frac{b^2 - 3ac}{5a}I_2(h) + \frac{bc}{5a}I_1(h). \end{aligned}$$

于是, 由 (2.7) 式, 有

$$\begin{aligned} I(h) &= \left[q_{01} + \frac{12}{5}q_{03}h \right]I_0(h) + \left[q_{11} + \frac{bc}{5a}q_{03} \right]I_1(h) + \left[q_{21} + \frac{b^2 - 3ac}{5a}q_{03} \right]I_2(h) \\ &= (\alpha_1 h + \alpha_2)I_0(h) + \beta I_1(h) + \gamma I_2(h). \end{aligned}$$

证毕.

2.2 $I_i(h)$, $Q(h) := \frac{I_2(h)}{I_0(h)}$ 和 $\omega(h) := \frac{I''_1(h)}{I'_0(h)}$ 的性质

由文献 [1], 下列结论成立.

定理 A^[1]

(i)

$$N \begin{pmatrix} I_0 \\ I_1 \\ I_2 \end{pmatrix} = (4hE + S) \begin{pmatrix} I'_0 \\ I'_1 \\ I'_2 \end{pmatrix},$$

其中 E 是单位矩阵, 且

$$N = \begin{pmatrix} 3 & 0 & 0 \\ b & 4 & 0 \\ \frac{3a}{3a^2} - \frac{b^2}{3a^2} & \frac{2b}{3a} & 5 \end{pmatrix}, \quad S = \begin{pmatrix} 0 & \frac{bc}{3a} & \frac{b^2 - 3ac}{3a} \\ 0 & \frac{3ac^2 - cb^2}{3a^2} & \frac{b(4ac - b^2)}{3a^2} \\ 0 & \frac{-bc(4ac - b^2)}{3a^3} & \frac{3a^2c^2 - 5ab^2c + b^4}{3a^3} \end{pmatrix}.$$

(ii) 若 $b(2b^2 - 9ac) \neq 0$, 则

$$I''_2 = \frac{12a}{2b^2 - 9ac}hI''_0 + \frac{1}{b} \left(\frac{36a^2}{2b^2 - 9ac}h - c \right)I''_1. \quad (2.13)$$

(iii) 若 $I_1(h) \equiv 0$, 则 $Q(h)$ 满足下面的方程

$$G(h)Q'(h) = a_{20} + a_{22}Q - Q(a_{00} + a_{02}Q), \quad (2.14)$$

其中

$$\begin{aligned} G(h) &= 12h[144a^3h^2 + 12(b^4 - 6ab^2c + 6a^2c^2)h - c^3(2b^2 - 9ac)], \\ a_{00} &= 12[108a^3h^2 + (10b^4 - 61ab^2c + 63a^2c^2)h - c^3(2b^2 - 9ac)], \\ a_{02} &= -15a[12a(b^2 - 3ac)h + c^2(2b^2 - 9ac)], \\ a_{20} &= -12[12a(b^2 - 3ac)h + c^2(2b^2 - 9ac)]h, \\ a_{22} &= 180a[12a^2h - c(b^2 - 3ac)]h. \end{aligned}$$

(iv) 若 $b(2b^2 - 9ac) \neq 0$, 则 $\omega(h)$ 满足下面的 Riccati 方程

$$G(h)\omega'(h) = -b_{01}\omega^2 - (b_{00} - b_{11})\omega + b_{10}, \quad (2.15)$$

其中

$$\begin{aligned} b_{00} &= \frac{432a^3(36ac - 7b^2)}{2b^2 - 9ac}h^2 - (864a^2c^2 - 996ab^2c + 168b^4)h + 12(2b^2 - 9ac)c^3, \\ b_{01} &= \frac{3888a^4(b^2 - 3ac)}{b(2b^2 - 9ac)}h^2 + \frac{12a(54a^2c^2 + 9ab^2c - 2b^4)}{b}h \\ &\quad + \frac{(2b^2 - 9ac)(10b^2 - 9ac)c^2}{b}, \\ b_{10} &= -\frac{144a^2b(7b^2 - 27ac)}{2b^2 - 9ac}h^2 + 12bc(2b^2 - 9ac)h, \\ b_{11} &= \frac{432a^3(72ac - 17b^2)}{2b^2 - 9ac}h^2 - 12(2b^2 - 9ac)(5b^2 - 8ac)h. \end{aligned}$$

注 2.1 当 $h \in \Sigma$ 时, $G(h) \neq 0$.

3 定理 1.1(ii) 的证明

定理 B^[12-14] 设函数 $F(x, y)$ 和 $G(x, y)$ 在 $\bar{\mathcal{D}}$ 上连续, 在 \mathcal{D} 内光滑, 其中 $\mathcal{D} = (x_1, x_2) \times (y_1, y_2)$. 若 $F'_x(x, y)$ 及 $F'_y(x, y) \neq 0$, 则在区域 \mathcal{D} 内, 方程组

$$\begin{cases} F(x, y) = 0, \\ G(x, y) = 0 \end{cases}$$

解的个数不超过 1 加上方程组

$$\begin{cases} F(x, y) = 0, \\ F'_y(x, y)G'_x(x, y) - F'_x(x, y)G'_y(x, y) = 0 \end{cases}$$

解的个数.

以下用 $\#\{f(h) = 0 \mid h \in \Sigma\}$ 表示 $f(h)$ 在 $h \in \Sigma$ 上孤立零点的个数.

引理 3.1 假设 $b = 0$, 则

$$\#\{I(h) = 0 \mid h \in \Sigma\} \leq \max(4, q), \quad (3.1)$$

其中 q 是 $Q(h)$ 在 Σ 上单调区间的个数.

证明 当 $b = 0$ 时,

$$H(x, y) = \frac{1}{2}y^2 + \frac{a}{4}x^4 + \frac{c}{2}x^2, \quad (a, b, c) \in \mathbb{R}^3, a \neq 0,$$

此时等位线 $H(x, y) = h$ 同时关于 x 轴和 y 轴对称, 从而 $I_1(h) \equiv 0$. 由 (2.6) 式,

$$I(h) = (\alpha_1 h + \alpha_2)I_0(h) + \gamma I_2(h), \quad h \in \Sigma, \quad (3.2)$$

其中 α_1, α_2 和 γ 是任意常数. 若 $\gamma = 0$, 则 $I(h) = (\alpha_1 h + \alpha_2)I_0(h)$. 注意到 $I_0(h) \neq 0$, 因此 $I(h)$ 在 Σ 内至多有一个孤立零点. 若 $\gamma \neq 0$, 则

$$I(h) = \gamma I_0(h) \left[\frac{\alpha_1 h + \alpha_2}{\gamma} + \frac{I_2(h)}{I_0(h)} \right] =: \gamma[(\tilde{\alpha}_1 h + \tilde{\alpha}_2) + Q(h)]I_0(h),$$

因此方程 $I(h) = 0$ 与方程

$$(\tilde{\alpha}_1 h + \tilde{\alpha}_2) + Q(h) = 0, \quad h \in \Sigma, \quad (3.3)$$

同解, 其中 $\tilde{\alpha}_1$ 和 $\tilde{\alpha}_2$ 是任意常数. 方程 (3.3) 与方程组

$$\begin{cases} G(h, y) := y - Q(h) = 0, \\ F(h, y) := y + (\tilde{\alpha}_1 h + \tilde{\alpha}_2) = 0, \end{cases} \quad h \in \Sigma, \quad (3.4)$$

同解. 下面考虑 $\tilde{\alpha}_1 = 0$ 的情形. 此时方程组 (3.4) 等价于

$$\begin{cases} y = Q(h), \\ y = -\tilde{\alpha}_2. \end{cases} \quad h \in \Sigma. \quad (3.5)$$

方程组 (3.5) 解的个数即为曲线 $y = Q(h)$ 与任意直线 $y = -\tilde{\alpha}_2$ 的交点个数. 由于 $Q(h)$ 的单调区间的个数是 q , 故对任意 $\tilde{\alpha}_2$, 直线 $y = -\tilde{\alpha}_2$ 与曲线 $Q(h)$ 至多有 q 个交点, 也就是说, 当 $\tilde{\alpha}_1 = 0$ 时, $\#\{I(h) = 0(h \in \Sigma)\} \leq q$.

现在考虑 $\tilde{\alpha}_1 \neq 0$ 的情形. 由定理 B, 方程组 (3.4) 解的个数不超过 1 加如下方程组

$$\begin{cases} Q'(h) = -\tilde{\alpha}_1, \\ Q(h) = -(\tilde{\alpha}_1 h + \tilde{\alpha}_2), \end{cases} \quad h \in \Sigma \quad (3.6)$$

解的个数. 注意到当 $h \in \Sigma$ 时, $G(h) \neq 0$, 则方程组 (3.6) 等价于

$$\begin{cases} G(h)Q'(h) = -\tilde{\alpha}_1 G(h), \\ Q(h) = -(\tilde{\alpha}_1 h + \tilde{\alpha}_2), \end{cases} \quad h \in \Sigma. \quad (3.7)$$

设

$$f(h) = G(h)Q'(h) + \tilde{\alpha}_1 G(h).$$

由 (2.14) 式, 有

$$f(h) = [a_{20} + a_{22}Q - Q(a_{00} + a_{02}Q)] + \tilde{\alpha}_1 G(h). \quad (3.8)$$

将方程组 (3.7) 的第 2 个方程代入 (3.8) 式, 可得

$$f(h) = [a_{20} + a_{22}Q - Q(a_{00} + a_{02}Q)]|_{Q(h)=-(\tilde{\alpha}_1 h + \tilde{\alpha}_2)} + \tilde{\alpha}_1 G(h). \quad (3.9)$$

由定理 A, $\deg a_{02} = 1$, $\deg a_{20}$, $\deg a_{22}$, $\deg a_{00} = 2$ 且 $\deg G(h) = 3$, 从而 $f(h)$ 是 h 的三次多项式, 在 $h \in \mathbb{R}$ 上至多有 3 个孤立零点, 因此方程组 (3.6) 在 $h \in \mathbb{R}$ 上至多有 3 个孤立零点, 从而 (3.4) 当 $h \in \Sigma$ 时至多有 4 个孤立零点. 综上所述, 我们证明了

$$\#\{I(h) = 0(h \in \Sigma)\} \leq \begin{cases} 1, & \text{若 } \gamma = 0; \\ q, & \text{若 } \gamma \neq 0 \text{ 且 } \tilde{\alpha}_1 = 0, \\ 4, & \text{若 } \gamma \neq 0 \text{ 且 } \tilde{\alpha}_1 \neq 0. \end{cases}$$

证毕.

下面通过讨论 $I''(h)$ 孤立的零点的个数来研究 $I(h)$ 的孤立零点数.

引理 3.2 若 $2b^2 - 9ac \neq 0$, 则

$$I''(h) = (\sigma_1 h + \sigma_2)I''_0(h) + (\sigma_3 h + \sigma_4)I''_1(h), \quad h \in \Sigma, \quad (3.10)$$

其中 σ_i , $i = 1, 2, 3, 4$, 是任意常数.

证明 由 (2.6) 式, 有

$$I'(h) = (\alpha_1 h + \alpha_2)I'_0(h) + \beta I'_1(h) + \gamma I'_2(h) + \alpha_1 I_0(h). \quad (3.11)$$

由于 q_{01}, q_{11}, q_{21} 和 q_{03} 是任意常数, $\alpha_1, \alpha_2, \beta$ 和 γ 也是任意常数. 由定理 A(i),

$$3I_0 = 4hI'_0 + \frac{bc}{3a}I'_1 + \frac{b^2 - 3ac}{3a}I'_2. \quad (3.12)$$

将 (3.12) 代入 (3.11) 式, 可得

$$I'(h) = (\rho_1 h + \rho_2)I'_0(h) + \rho_3 I'_1(h) + \rho_4 I'_2(h), \quad (3.13)$$

其中 $\rho_i, i = 1, 2, 3, 4$, 是任意常数. 于是

$$I''(h) = \rho_1 I'_0(h) + (\rho_1 h + \rho_2)I''_0(h) + \rho_3 I''_1(h) + \rho_4 I''_2(h). \quad (3.14)$$

由定理 A(i),

$$(N - 4E) \begin{pmatrix} I'_0 \\ I'_1 \\ I'_2 \end{pmatrix} = (4hE + S) \begin{pmatrix} I''_0 \\ I''_1 \\ I''_2 \end{pmatrix}. \quad (3.15)$$

由 (3.15) 的第一行可知

$$-I'_0(h) = 4hI''_0 + \frac{bc}{3a}I''_1 + \frac{b^2 - 3ac}{3a}I''_2. \quad (3.16)$$

将 (3.16) 和 (2.13) 式代入 (3.14) 可得 (3.10). 证毕.

引理 3.3 设 $b(2b^2 - 9ac) \neq 0$, 且当 $h \in \Sigma$ 时 $I''_0(h) \neq 0$, 则下列结论成立:

(i) 若 $(\sigma_1 h + \sigma_2)$ 和 $(\sigma_3 h + \sigma_4)$ 有公因子, 则

$$\#\{I(h) = 0(h \in \Sigma)\} \leq l + 2, \quad (3.17)$$

其中 l 是 $\omega(h)$ 在 $h \in \Sigma$ 上单调区间的个数.

(ii) 若 $\sigma_1 \sigma_4 = \sigma_2 \sigma_3$, 则

$$\#\{I(h) = 0(h \in \Sigma)\} \leq l + 2.$$

(iii) 若 $\sigma_1 \sigma_4 \neq \sigma_2 \sigma_3$, 则

$$\#\{I(h) = 0(h \in \Sigma)\} \leq \max(6, l + 2). \quad (3.18)$$

总之,

$$\#\{I(h) = 0(h \in \Sigma)\} \leq \max(6, l + 2). \quad (3.19)$$

证明 (i) 若 $(\sigma_1 h + \sigma_2)$ 和 $(\sigma_3 h + \sigma_4)$ 有公因子, 则存在 $k \neq 0$, 使得

$$\sigma_1 h + \sigma_2 = k(\sigma_3 h + \sigma_4), \quad h \in \mathbb{R}.$$

于是

$$I''(h) = (\sigma_3 h + \sigma_4)[kI''_0(h) + I''_1(h)] = (\sigma_3 h + \sigma_4)I''_0(h)[k + \omega(h)],$$

且有

$$\#\{I''(h) = 0(h \in \Sigma)\} \leq 1 + \#\{\omega(h) = -k(h \in \Sigma)\}.$$

由于 $\omega(h)$ 在 Σ 上有 l 个单调区间, 则

$$\#\{I''(h) = 0(h \in \Sigma)\} \leq 1 + l.$$

由 Rolle 定理, $I(h)$ 在 $h \in \Sigma \cup \partial\Sigma$ 上至多有 $l + 3$ 个孤立零点. 注意到 $I(h)$ 在 $\partial\Sigma$ 上的两点中总有一点等于零, 故不等式 (3.17) 成立.

(ii) 若 $\sigma_1\sigma_4 = \sigma_2\sigma_3$, 则 $I''(h)$ 有如下的表达式

$$\sigma_1\sigma_4 = \sigma_2\sigma_3 \left\{ \begin{array}{ll} \text{(a)} & \sigma_2, \sigma_4 \neq 0, \\ & \text{则存在 } k, \text{ 使得 } I''(h) = (\sigma_3h + \sigma_4)I_0''[k + \omega(h)]; \\ \text{(b)} & \sigma_2 = 0, \sigma_4 \neq 0, \\ & \text{则 } I''(h) = (\sigma_3h + \sigma_4)I_0''\omega(h) = (\sigma_3h + \sigma_4)I_0''(0 + \omega(h)); \\ \text{(c)} & \sigma_2 = \sigma_4 = 0, \text{ 则 } I''(h) = \sigma_1hI_0'' + \sigma_3hI_1'' = h(\sigma_1I_0'' + \sigma_3I_1''); \\ \text{(d)} & \sigma_4 = 0, \sigma_2 \neq 0, \text{ 则 } I''(h) = (\sigma_1h + \sigma_2)I_0''. \end{array} \right.$$

情形 (a–c) 属于 (i); 对情形 (d), $I''(h)$ 至多有一个孤立零点.

(iii) 首先, 假设当 $h \in \Sigma$ 时, $\sigma_3h + \sigma_4 \neq 0$. 则由 (3.10) 式,

$$I''(h) = 0 \iff \frac{\sigma_1h + \sigma_2}{\sigma_3h + \sigma_4} = -\omega(h) \iff \begin{cases} y = -\omega(h), \\ y = \frac{\sigma_1h + \sigma_2}{\sigma_3h + \sigma_4}. \end{cases} \quad (3.20)$$

由定理 B, 方程 (3.20) 解的个数至多比下面方程组解的个数多 1:

$$\begin{cases} \omega'(h) = -\frac{\sigma_1\sigma_4 - \sigma_2\sigma_3}{(\sigma_3h + \sigma_4)^2}, \\ \omega(h) = \frac{\sigma_1h + \sigma_2}{\sigma_3h + \sigma_4}, \end{cases} \quad h \in \Sigma. \quad (3.21)$$

方程组 (3.21) 等价于

$$\begin{cases} G(h)\omega'(h) = G(h)\left[-\frac{\sigma_1\sigma_4 - \sigma_2\sigma_3}{(\sigma_3h + \sigma_4)^2}\right], \\ \omega(h) = \frac{\sigma_1h + \sigma_2}{\sigma_3h + \sigma_4}, \end{cases} \quad h \in \Sigma. \quad (3.22)$$

令

$$f(h) = G(h)\omega'(h) + \frac{\sigma_1\sigma_4 - \sigma_2\sigma_3}{(\sigma_3h + \sigma_4)^2}G(h). \quad (3.23)$$

将 (2.15) 和 (3.22) 式的第二个方程代入 (3.23) 可得

$$\begin{aligned} f(h) &= \frac{1}{(\sigma_3h + \sigma_4)^2}\{-b_{01}(\sigma_1h + \sigma_2)^2 - (b_{00} - b_{11})(\sigma_1h + \sigma_2)(\sigma_3h + \sigma_4) \\ &\quad + b_{10}(\sigma_3h + \sigma_4)^2 + (\sigma_1\sigma_4 - \sigma_2\sigma_3)G(h)\} \\ &=: \frac{1}{(\sigma_3h + \sigma_4)^2}f_1(h). \end{aligned}$$

注意到 b_{ij} 和 $G(h)$ 分别是 h 的二次和三次多项式, $f_1(h)$ 是 h 的次数不超过 4 的多项式, 在 $h \in R$ 上至多有 4 个孤立零点. 于是 $I''(h)$ 在 $h \in \Sigma \cup \partial\Sigma$ 上至多有 5 个孤立零点. 由于 $I(h)$ 在 $\partial\Sigma$ 的两点总有一点等于零, 因此 $I(h)$ 当 $h \in \Sigma$ 时至多有 6 个孤立零点, 即

$$\#\{I(h) = 0 \mid h \in \Sigma\} \leq 6. \quad (3.24)$$

其次, 假设存在 $\tilde{h} \in \Sigma$, 使得 $\sigma_3\tilde{h} + \sigma_4 = 0$. 若 $I''(\tilde{h}) \neq 0$, 令

$$\tilde{\Sigma} = \{(-\infty, \tilde{h}) \cup (\tilde{h}, \infty)\} \cap \Sigma.$$

则当 $h \in \tilde{\Sigma}$ 时, $\sigma_3h + \sigma_4 \neq 0$, 且当 $h \in \tilde{\Sigma}$ 时 $I(h)$ 至多有 6 个孤立零点. 注意到 $I''(\tilde{h}) \neq 0$, 可知当 $h \in \Sigma$ 时, $I(h)$ 至多有 6 个孤立零点. 若 $I''(\tilde{h}) = 0$, 由 $I_0''(h) \neq 0$ ($h \in \Sigma$) 知 $\sigma_1\tilde{h} + \sigma_2 = 0$. 于是

$$\sigma_3\tilde{h} + \sigma_4 = 0, \quad \sigma_1\tilde{h} + \sigma_2 = 0,$$

这说明 $\sigma_3 h + \sigma_4$ 和 $\sigma_1 h + \sigma_2$ 有一个公因子. 由此引理的 (i) 知, $\#\{I(h) = 0(h \in \Sigma)\} \leq l + 2$. 证毕.

定理 1.1 (ii) 的证明

对情形 (A), 我们取文献 [1] 中的正规形

$$H(x, y) = \frac{y^2}{2} - \frac{1}{4}x^4 + \frac{1}{2}x^2.$$

由文献 [11] 知 $h \in \Sigma = (0, 1/4)$ 时, $Q'(h) > 0$, 故由引理 3.1 知, $\#\{I(h) = 0(h \in \Sigma)\} \leq 4$.

对情形 (B), 我们取文献 [1] 中的正规形

$$H(x, y) = \frac{y^2}{2} - \frac{1}{4}x^4 - \frac{\lambda-1}{3}x^3 + \frac{\lambda}{2}x^2, \quad \lambda > 1, \quad \Sigma = \left(0, \frac{2\lambda+1}{12}\right),$$

其中当 $h \downarrow 0$ 时 $\Gamma_h \downarrow$ 中心 $(0, 0)$. 由文献 [1] 知, $\omega(h)$ 的单调区间数至多为 2. 注意到 $2b^2 - 9ac \neq 0$, 且当 $h \in \Sigma$ 时 $I''_0(h) \neq 0$, 故由引理 3.3 知 $\#\{I(h) = 0(h \in \Sigma)\} \leq 6$.

对情形 (D), 我们取文献 [2] 中的正规形

$$H(x, y) = \frac{y^2}{2} + \frac{1}{4}x^4 + \frac{1}{3}x^3, \quad \Sigma = \left(-\frac{1}{12}, 0\right) \cup (0, +\infty),$$

其中当 $h \downarrow -\frac{1}{12}$ 时, $\Gamma_h \downarrow$ 中心 $(-1, 0)$. 由文献 [2] 知 $\omega(h)$ 的单调区间数至多为 3. 注意到 $2b^2 - 9ac \neq 0$, 且当 $h \in \Sigma$ 时 $I''_0(h) \neq 0$, 故由引理 3.3 知 $\#\{I(h) = 0(h \in \Sigma)\} \leq 6$.

对情形 (E), 我们取文献 [4] 中的正规形

$$H(x, y) = \frac{y^2}{2} + \frac{1}{4}x^4 + \frac{1-\lambda}{3}x^3 - \frac{\lambda}{2}x^2, \quad \lambda \in (0, 1]. \quad (3.25)$$

Hamilton 函数 (3.25) 有 3 个临界值 h_1, h_2 和 0, 其中

$$h_1 = -\frac{1}{12}(2\lambda+1), \quad h_2 = -\frac{1}{12}\lambda^3(\lambda+2), \quad h_1 \leq h_2.$$

分别以

$$\Gamma_h^L = \{(x, y) | H(x, y) = h, h \in (h_1, 0), x < 0\},$$

$$\Gamma_h^R = \{(x, y) | H(x, y) = h, h \in (h_2, 0), x > 0\},$$

$$\Gamma_h^{L,R} = \{(x, y) | H(x, y) = h, h \in (0, +\infty)\}$$

表示等位线的 3 类紧致分支, 则当 $h \downarrow h_1$ 时 $\Gamma_h^L \downarrow$ 中心 $(-1, 0)$; 当 $h \downarrow h_2$ 时 $\Gamma_h^R \downarrow$ 中心 $(\lambda, 0)$; 当 $h \downarrow 0$ 时 $\Gamma_h^{L,R} \downarrow \Gamma_0$, 其中 Γ_0 是通过鞍点 $(0, 0)$ 且围绕中心 $(-1, 0)$ 和 $(\lambda, 0)$ 的双同宿轨.

若 $\lambda = 1$, 则 $b = 0$. 由文献 [11] 知, $Q(h)$ 在 $(-\frac{1}{4}, 0) \cup (0, +\infty)$ 上单调区间的个数为 2. 注意到 $2b^2 - 9ac \neq 0$, 且当 $h \in \Sigma$ 时 $I''_0(h) \neq 0$, 故由引理 3.1 知, $\#\{I(h) = 0, h \in (h_1, 0)\} \leq 8$.

若 $\lambda \in (0, 1)$, 文献 [4] 已证 $\omega(h)$ 在 $h \in (h_1, 0)$ 上严格增加, 且由文献 [15] 知 $h > 0$ 时, $I''_0(h) \neq 0$. 注意到 $2b^2 - 9ac \neq 0$, 且仅考虑 Abel 积分围绕一个中心的情形, 故由引理 3.3 知 $\#\{I(h) = 0, h \in (h_1, 0)\} \leq 12$. 证毕.

4 定理 1.1(iii) 的证明

本节将证明如下结论.

定理 4.1 对情形 (B), 以下结论成立:

(i) 存在 $\lambda_0 > 1$, 使得 $\lambda \geq \lambda_0$ 时, 对任意 q_{ij} 和 $\varepsilon > 0$, (X_ε) 在未扰动的同宿环附近至多有 3 个极限环;

(ii) 存在 $\lambda = \lambda^*$, $\varepsilon^* > 0$ ($|\varepsilon^*| \ll 1$) 和 $q_{ij}^* \in \mathbb{R}$, 使得相应的向量场 (X_{ε^*}) 在原同宿环附近恰有 3 个极限环.

我们用文献 [1] 中的正规形, 即在 (1.4) 式中令 $a = -1$, $b = 1 - \lambda$, $c = \lambda$ ($\lambda > 1$). 于是 (X_ε) 化为

$$\begin{cases} \dot{x} = y, \\ \dot{y} = x(x + \lambda)(x - 1) + \varepsilon(q_{01} + q_{11}x + q_{21}x^2 + q_{03}y^2)y, \end{cases} \quad (4.1)$$

且

$$\Gamma_h = \{(x, y) | H(x, y) = h, 0 < h < h_1\}, \quad h_1 = \frac{2\lambda + 1}{12}.$$

同宿环 Γ 由 $H(x, y) = h_1$ 确定. 由文献 [16] 知, 对 h_1 附近的 h , $I(h)$ 有如下展式:

$$I(h) = c_1 + c_2|h - h_1|\ln|h - h_1| + c_3|h - h_1| + c_4|h - h_1|^2\ln|h - h_1| + \dots, \quad (4.2)$$

其中

$$\begin{aligned} c_1 &= I(h_1), \\ c_2 &= \left(\frac{\partial P_3}{\partial x} + \frac{\partial Q_3}{\partial y} \right) \Big|_{(1,0)}, \text{ 若 } c_1 = 0; \\ c_3 &= \int_{-\infty}^{+\infty} \left(\frac{\partial P_3}{\partial x} + \frac{\partial Q_3}{\partial y} \right) \Big|_{\Gamma}(x(t), y(t))dt, \text{ 若 } c_1 = c_2 = 0; \\ c_4 &= V_1 \quad (\text{若 } c_1 = c_2 = c_3 = 0), \text{ 是一阶鞍点量.} \end{aligned}$$

定理 C^[16] 若 $c_i = 0$, $i = 1, 2, \dots, k - 1$, 但 $c_k \neq 0$, 则 (X_ε) 在 Γ 附近至多有 $k - 1$ 条极限环.

4.1 计算 c_1 和 c_2

由于

$$\begin{aligned} I_i(h) &= 2 \int_{x_l(h)}^{x_r(h)} x^i y_+(x, h) dx, \quad h \in (0, h_1], \quad i = 0, 1, 2; \\ x_l(h_1) &= x^* = -\frac{2}{3}\lambda - \frac{1}{3} + \frac{\sqrt{2}}{3}\sqrt{(\lambda - 1)(2\lambda + 1)}, \\ y_+(x, h_1) &= \frac{1}{\sqrt{6}}\sqrt{f(x)}, \\ f(x) &= 3(x - 1)^2(x - x^*)(x - \tilde{x}), \\ \tilde{x} &= -\frac{1}{3}[2\lambda + 1 + \sqrt{2(\lambda - 1)(2\lambda + 1)}], \end{aligned} \quad (4.3)$$

通过直接计算可得

$$I_i(h_1) = a_{i1}v_1 + a_{i2}v_2 + a_{i3}v_3 + a_{i0}, \quad i = 0, 1, 2,$$

其中

$$v_1 = \sqrt{2\lambda + 2}, \quad v_2 = \ln(2\lambda + 4 + 3\sqrt{2\lambda + 2}), \quad (4.4)$$

$$v_3 = \ln((\lambda - 1)(2\lambda + 1)), \quad (4.5)$$

$$a_{21} = \frac{\sqrt{2}}{405}(70\lambda^4 + 65\lambda^3 - 54\lambda^2 - 43\lambda + 16)$$

$$a_{22} = \frac{\sqrt{2}}{1701}(7\lambda + 5 + 3\sqrt{2})(-7\lambda - 5 + 3\sqrt{2})(\lambda - 1)(2\lambda + 1)^2;$$

$$\begin{aligned}
a_{23} &= -\frac{1}{2}a_{22}; \quad a_{20} = \frac{\sqrt{2}\ln 2}{486}(\lambda-1)(7\lambda^2+10\lambda+1)(2\lambda+1)^2; \\
a_{11} &= -\frac{\sqrt{2}}{54}(10\lambda^2+19\lambda+10)(\lambda-1); \\
a_{12} &= \frac{\sqrt{2}}{162}(5\lambda+7)(\lambda-1)(2\lambda+1)^2; \\
a_{13} &= -\frac{1}{2}a_{12}; \\
a_{10} &= -\frac{\sqrt{2}\ln 2}{324}(5\lambda+7)(\lambda-1)(2\lambda+1)^2; \\
a_{01} &= \frac{2\sqrt{2}}{9}(\lambda^2+\lambda+1); \\
a_{02} &= -\frac{2\sqrt{2}}{27}(\lambda+2)(2\lambda+1)(\lambda-1); \\
a_{03} &= -\frac{1}{2}a_{02}; \\
a_{00} &= \frac{\sqrt{2}\ln 2}{27}(\lambda-1)(2\lambda+1)(\lambda+2).
\end{aligned}$$

代入 (2.6) 式, 得

$$\begin{aligned}
c_1 &= I_0(h_1)q_{01} + I_2(h_1)q_{21} + \frac{1}{5}[(I_1(h_1) - I_2(h_1))\lambda^2 \\
&\quad + (2I_0(h_1) - I_1(h_1) - I_2(h_1))\lambda + (I_0(h_1) - I_2(h_1))]q_{03} + I_1(h_1)q_{11}.
\end{aligned} \tag{4.6}$$

容易看出

$$c_2 = q_{01} + q_{11} + q_{21}. \tag{4.7}$$

4.2 计算 c_3

由于不容易得到 Γ 的参数化表达式, 我们将通过下面的方法来计算 c_3 . 由 (4.2), 如果 $c_1 = c_2 = 0$, 则

$$I'(h) = c_3 + 2c_4(h-h_1)\ln(h-h_1) + c_4(h-h_1) + \dots,$$

从而 $c_3 = I'(h_1)$. 注意到沿着 Γ_0 , 有

$$\frac{y^2}{2} - \frac{1}{4}x^4 - \frac{\lambda-1}{3}x^3 + \frac{\lambda}{2}x^2 = h_1,$$

于是 $y \cdot \frac{\partial y}{\partial h_1} = 1$. 因此由 (4.3) 式,

$$\begin{aligned}
I'_i(h_1) &= 2 \int_{x_l(h_1)}^{x_r(h_1)} \frac{x^i}{y_+(x, h_1)} dx \\
&= 2\sqrt{2} \int_{x^*}^1 \frac{x^i}{(1-x)\sqrt{(x-x^*)(x-\tilde{x})}} dx,
\end{aligned} \tag{4.8}$$

其中 $x_r(h_1) = 1$, $x_l(h_1) = x^*$ 是 Γ 和 x 轴交点的横坐标. 由于

$$I'(h_1) = \alpha_1 I_0(h_1) + (\alpha_1 h_1 + \alpha_2) I'_0(h_1) + \beta I'_1(h_1) + \gamma I'_2(h_1),$$

以及 $I_0(h_1)$ 已知, 我们只要计算

$$\Psi = (\alpha_1 h_1 + \alpha_2) I'_0(h_1) + \beta I'_1(h_1) + \gamma I'_2(h_1). \tag{4.9}$$

把 (4.8) 代入 (4.9) 式, 则

$$\Psi = 2\sqrt{2} \int_{x^*}^1 \frac{\alpha_1 h_1 + \alpha_2 + \beta x + \gamma x^2}{(1-x)\sqrt{(x-x^*)(x-\tilde{x})}} dx. \tag{4.10}$$

由引理 2.2,

$$\alpha_1 h_1 + \alpha_2 + \beta + \gamma = \left[\frac{bc}{5a} + \frac{b^2 - 3ac}{5a} + \frac{12}{5} h_1 \right] q_{03}.$$

注意到 $a = -1$, $b = 1 - \lambda$, $c = \lambda$ 和 $c_2 = 0$, 从而

$$\frac{bc}{5a} + \frac{b^2 - 3ac}{5a} + \frac{12}{5} \cdot \frac{2\lambda + 1}{12} \equiv 0$$

且

$$\alpha_1 h_1 + \alpha_2 + \beta x + \gamma x^2 = (x - 1)[\gamma x - (\alpha_1 h_1 + \alpha_2)].$$

于是 (4.10) 式是正常积分, 计算可得

$$\begin{aligned} \Psi = & \frac{\sqrt{2}}{15} [-30\sqrt{2\lambda+2}q_{21} + 10q_{21}\ln(4+2\lambda+3\sqrt{2\lambda+2}) + 4q_{03}\ln(4+2\lambda+3\sqrt{2\lambda+2}) \\ & - 5\ln((\lambda-1)(2\lambda+1))q_{21} + 6\sqrt{2\lambda+2}q_{03} - 5\ln(2)q_{21} + 30q_{01}\ln(4+2\lambda+3\sqrt{2\lambda+2}) \\ & - 2q_{03}\ln((\lambda-1)(2\lambda+1)) - 2q_{03}\ln(2) - 15q_{01}\ln((\lambda-1)(2\lambda+1)) + 3\lambda^2\ln((\lambda-1) \\ & \cdot (2\lambda+1))q_{03} + 2\lambda^3\ln((\lambda-1)(2\lambda+1))q_{03} - 10\lambda\ln((\lambda-1)(2\lambda+1))q_{21} + 6\sqrt{2\lambda+2}q_{03}\lambda \\ & + 6\sqrt{2\lambda+2}q_{03}\lambda^2 - 3q_{03}\ln(2)\lambda - 3q_{03}\ln((\lambda-1)(2\lambda+1))\lambda + 3\lambda^2\ln(2)q_{03} \\ & + 2\lambda^3\ln(2)q_{03} - 10\lambda\ln(2)q_{21} - 15q_{01}\ln(2) - 6q_{03}\lambda^2\ln(4+2\lambda+3\sqrt{2\lambda+2}) \\ & + 20\lambda q_{21}\ln(4+2\lambda+3\sqrt{2\lambda+2}) - 4q_{03}\lambda^3\ln(4+2\lambda+3\sqrt{2\lambda+2}) \\ & + 6q_{03}\lambda\ln(4+2\lambda+3\sqrt{2\lambda+2})]. \end{aligned}$$

为简便, 令

$$b_1 = q_{01}, \quad b_2 = q_{21}, \quad b_3 = q_{03}, \quad b_4 = q_{11}, \quad (4.11)$$

于是 c_3 可以表示为

$$\begin{aligned} c_3 &= I'(h_1) = 2\sqrt{6}(z_1 b_1 + z_2 b_2 + z_3 b_3) - \frac{12}{5} I_0 b_3, \\ z_1 &= -\frac{\sqrt{3}}{6}(-2v_2 + v_3 + \ln 2); \\ z_2 &= -\frac{\sqrt{3}}{18}(6v_1 - (2+4\lambda)v_2 + (1+2\lambda)v_3 + (1+2\lambda)\ln 2); \\ z_3 &= \frac{\sqrt{3}}{15} \left[(\lambda^2 + \lambda + 1)v_1 - \frac{1}{3}(\lambda+2)(2\lambda+1)(\lambda-1)v_2 + \frac{1}{6}(\lambda+2)(2\lambda+1)(\lambda-1)v_3 \right]. \end{aligned} \quad (4.12)$$

4.3 计算 c_4

引理 4.1^[17] 对于向量场

$$\dot{x} = y + f(x, y), \quad \dot{y} = x + g(x, y),$$

其中 $f(0, 0) = g(0, 0)$, 第一阶鞍点量由下式给出:

$$\begin{aligned} V_1 = & [f_{xxx} - f_{xyy} + g_{xxy} - g_{yyy} + f_{xy}(f_{yy} - f_{xx}) \\ & + g_{xy}(g_{yy} - g_{xx}) - f_{xx}g_{xx} + f_{yy}g_{yy}]|_{(0,0)}. \end{aligned} \quad (4.13)$$

令 $u = x - 1$, $v = y$, 则方程组 (4.1) 化为

$$\begin{cases} \dot{u} = v, \\ \dot{v} = (u+1)(u+1+\lambda)u + \varepsilon[b_1 + b_4(u+1) + b_2(u+1)^2]v + \varepsilon b_3 v^3. \end{cases} \quad (4.14)$$

由于 $c_2 = 0$, 方程组 (4.14) 可以表示为

$$\begin{cases} \dot{u} = v, \\ \dot{v} = (\lambda + 1)u + (2 + \lambda)u^2 + u^3 + \varepsilon(b_4u + 2b_2u + b_2u^2)v + \varepsilon b_3v^3. \end{cases} \quad (4.15)$$

令 $\xi = u, \eta = \frac{1}{\sqrt{\lambda+1}}v, \tau = \sqrt{\lambda+1}t$, 则方程组 (4.15) 化为

$$\frac{d\xi}{d\tau} = \eta, \quad \frac{d\eta}{d\tau} = \xi + \frac{1}{\lambda+1}g(\xi, \sqrt{\lambda+1}\eta), \quad (4.16)$$

其中

$$\begin{aligned} g(\xi, \sqrt{\lambda+1}\eta) &= (2 + \lambda)\xi^2 + \xi^3 + \varepsilon(b_4\xi + 2b_2\xi + b_2\xi^2)\sqrt{\lambda+1}\eta \\ &\quad + \varepsilon b_3(\lambda + 1)\sqrt{\lambda+1}\eta^3. \end{aligned}$$

注意到 $\varepsilon > 0$ 和 $\lambda > 1$, 由 (4.13) 式, 有

$$c_4 = -2\frac{\lambda+2}{\lambda+1}b_4 + \left[2 - \frac{4(\lambda+2)}{\lambda+1}\right]b_2 + (-6\lambda - 6)b_3. \quad (4.17)$$

4.4 定理 4.1 的证明

(i) 由 (4.6), (4.7), (4.12) 和 (4.17) 式可以看出 $c_i (i = 1, 2, 3, 4)$ 可以由 b_1, b_2, b_3 和 b_4 线性表示. 考虑变量为 b_1, b_2, b_3, b_4 的线性方程组

$$c_1 = c_2 = c_3 = c_4 = 0, \quad (4.18)$$

并用 $\det(\lambda)$ 表示此方程组的系数行列式, 直接计算可得

$$\begin{aligned} &4920750(\lambda+1)^4 \det(\lambda) \\ &= 33600(v_3 - 2v_2 + \ln 2)^2 \lambda^{11} + 67200(v_3 - 2v_2 + \ln 2)(4 \ln 2 + 3v_1 - 8v_2 + 4v_3)\lambda^{10} \\ &\quad + [4166400v_2^2 - 4166400v_2v_3 - 3024000v_2v_1 + 1041600v_3^2 + 1512000v_3v_1 + 302400v_1^2 \\ &\quad - 4166400 \ln 2v_2 + 2083200 \ln 2v_3 + 1512000 \ln 2v_1 + 1041600(\ln 2)^2] \lambda^9 \\ &\quad + [8668800v_2^2 - 8668800v_2v_3 - 7570080v_2v_1 + 2167200v_3^2 + 3785040v_3v_1 + 2116800v_1^2 \\ &\quad - 8668800 \ln 2v_2 + 4334400 \ln 2v_3 + 3785040 \ln 2v_1 + 2167200(\ln 2)^2] \lambda^8 \\ &\quad + [6476400v_2^2 - 6476400v_2v_3 - 381600v_2v_1 + 1619100v_3^2 + 190800v_3v_1 + 2056320v_1^2 \\ &\quad - 6476400 \ln 2v_2 + 3238200 \ln 2v_3 + 190800 \ln 2v_1 + 1619100(\ln 2)^2] \lambda^7 \\ &\quad + [-8668800v_2^2 + 8668800v_2v_3 + 35751960v_2v_1 - 2167200v_3^2 - 17875980v_3v_1 \\ &\quad - 15840360v_1^2 + 8668800 \ln 2v_2 - 4334400 \ln 2v_3 - 17875980 \ln 2v_1 - 2167200(\ln 2)^2] \lambda^6 \\ &\quad + [-21294000v_2^2 + 21294000v_2v_3 + 77717520v_2v_1 - 5323500v_3^2 - 38858760v_3v_1 \\ &\quad - 54152280v_1^2 + 21294000 \ln 2v_2 - 10647000 \ln 2v_3 - 38858760 \ln 2v_1 - 5323500(\ln 2)^2] \lambda^5 \\ &\quad + [-12247200v_2^2 + 12247200v_2v_3 + 74007720v_2v_1 - 3061800v_3^2 - 37003860v_3v_1 \\ &\quad - 75250080v_1^2 + 12247200 \ln 2v_2 - 6123600 \ln 2v_3 - 37003860 \ln 2v_1 - 3061800(\ln 2)^2] \lambda^4 \\ &\quad + [5821200v_2^2 - 5821200v_2v_3 + 29966400v_2v_1 + 1455300v_3^2 - 14983200v_3v_1 \\ &\quad - 55721520v_1^2 - 5821200 \ln 2v_2 + 2910600 \ln 2v_3 - 14983200 \ln 2v_1 + 1455300(\ln 2)^2] \lambda^3 \end{aligned}$$

$$\begin{aligned}
& + \left[10449600v_2^2 - 10449600v_2v_3 - 425880v_2v_1 + 2612400v_3^2 + 212940v_3v_1 \right. \\
& \quad \left. - 24480360v_1^2 - 10449600 \ln 2v_2 + 5224800 \ln 2v_3 + 212940 \ln 2v_1 + 2612400(\ln 2)^2 \right] \lambda^2 \\
& + \left[4695600v_2^2 - 4695600v_2v_3 - 3501360v_2v_1 + 1173900v_3^2 + 1750680v_3v_1 \right. \\
& \quad \left. - 7258680v_1^2 - 4695600 \ln 2v_2 + 2347800 \ln 2v_3 + 1750680 \ln 2v_1 + 1173900(\ln 2)^2 \right] \lambda \\
& + 722400v_2^2 - 722400v_2v_3 - 583560v_2v_1 + 180600v_3^2 + 291780v_3v_1 - 1319760v_1^2 \\
& \quad - 722400 \ln 2v_2 + 361200 \ln 2v_3 + 291780 \ln 2v_1 + 180600(\ln 2)^2.
\end{aligned}$$

令

$$4920750(\lambda + 1)^4 \det(\lambda) := \sum_{i=0}^{11} \eta_i \lambda^i = \lambda^{11} \left(\eta_{11} + \sum_{i=0}^{10} \frac{\eta_i \lambda^i}{\lambda^{11}} \right),$$

其中

$$\eta_{11} = 33600(v_3 - 2v_2 + \ln 2)^2.$$

由 (4.4), (4.5) 式可得 $\lim_{\lambda \rightarrow +\infty} (v_3 - 2v_2) = 0$, 以及

$$\lim_{\lambda \rightarrow +\infty} \eta_{11} = 33600(\ln 2)^2, \quad \lim_{\lambda \rightarrow +\infty} \frac{\eta_i \lambda^i}{\lambda^{11}} = 0 \ (i = 0, 1, \dots, 10).$$

因此, 存在 $\lambda_0 > 1$, 使得当 $\lambda > \lambda_0$ 时, 有 $\det(\lambda) > 0$. 因为 $(b_1, b_2, b_3, b_4) \neq 0$, 故对 $\lambda > \lambda_0$, (X_ε) 在同宿环 Γ 附近至多有 3 个极限环.

(ii) 令 $\lambda^* = 7$. 于是

$$\begin{aligned}
c_1 &= -32.892b_1 - 1389.4b_2 + 17526b_3 + 211.96b_4, \\
c_2 &= -41.24127447b_2 + 532.8347318b_3 + 7.444120151b_4, \text{ 若 } c_1 = 0, \\
c_3 &= 53.676934b_3 - 3.01069714b_4, \text{ 若 } c_1 = c_2 = 0, \\
c_4 &= -7.205209670b_4, \text{ 若 } c_1 = c_2 = c_3 = 0.
\end{aligned}$$

如果下列不等式成立, 则 Γ 恰好分支出 3 个极限环:

$$c_4 < 0, \quad c_3 > 0, \quad c_2 < 0, \quad c_1 < 0, \quad |c_1| \ll |c_2| \ll |c_3| \ll |c_4|. \quad (4.19)$$

容易看出, 存在 b_i^* , $i = 1, 2, 3, 4$, 使得不等式组 (4.19) 成立, 故当 $(b_1, b_2, b_3, b_4) = (b_1^*, b_2^*, b_3^*, b_4^*)$, $0 < \varepsilon \ll 1$ 时, (X_ε) 在 Γ 附近恰有 3 个极限环. 证毕.

致谢 作者衷心感谢张芷芬教授和李承治教授的有益讨论, 同时也衷心感谢审稿专家提出的宝贵意见和建议.

参考文献

- 1 Dumortier F, Li C. Perturbations from an elliptic Hamiltonian of degree four: I. Saddle loop and two saddle cycle. *J Differential Equations*, **176**: 114–157 (2001)
- 2 Dumortier F, Li C. Perturbations from an elliptic Hamiltonian of degree four: II. Cuspidal Loop. *J Differential Equations*, **175**: 209–243 (2001)
- 3 Dumortier F, Li C. Perturbation from an elliptic Hamiltonian of degree four: III global center. *J Differential Equations*, **188**: 473–511 (2003)

- 4 Dumortier F, Li C. Perturbation from an elliptic Hamiltonian of degree four: IV figure eight-loop. *J Differential Equations*, **188**: 512–554 (2003)
- 5 Zhao Y, Zhang Z. Linear Estimate of the Number of Zeros of Abelian Integrals for a Kind of Quartic Hamiltonians. *J Differential Equations*, **155**: 73–88 (1999)
- 6 Liu C. Estimate of the number of zeros of Abelian integrals for an elliptic Hamiltonian with figure-of-eight loop. *Nonlinearity*, **16**: 1151–1163 (2003)
- 7 Petrov G S. Complex zeros of an elliptic integral. *Funct Anal Appl*, **21**: 160–161 (1987)
- 8 Petrov G S. Complex zeros of an elliptic integral. *Funct Anal Appl*, **23**: 247–248 (1989)
- 9 Petrov G S. Nonoscillation of elliptic integrals. *Funct Anal Appl*, **24**: 45–50 (1990)
- 10 Rousseau C, Zoladek H. Zeroes of complete elliptic integrals for 1:2 resonance. *J Differential Equations*, **94**: 42–54 (1991)
- 11 Chow S N, Li C, Wang D. Normal Forms and Bifurcation of Planar Vector Fields. Cambridge: Cambridge University Press, 1994
- 12 Dumortier F, Morsalani M El, Rousseau C. Hilbert's 16th problem for quadratic systems and cyclicity of elementary graphics. *Nonlinearity*, **9**: 1209–1261 (1996)
- 13 Morsalani M El, Mourtada A. Degenerate and non-trivial hyperbolic 2-polycycles: appearance of two independant Ecalle-Roussarie compensators and Khovanskii's theory. *Nonlinearity*, **7**: 1593–1604 (1994)
- 14 Zhu H, Rousseau C. Finite cyclicity of graphics with a nilpotent singularity of saddle or elliptic type. *J Differential Equations*, **178**: 325–436 (2002)
- 15 Gavrilov L. Remark on the number of critical points of the period. *J Differential Equations*, **101**: 58–65 (1993)
- 16 Roussarie R. On the number of limit cycles which appear by perturbation of separatrix loop of planar vector fields. *Bol Soc Bras Mat*, **17**: 67–101 (1986)
- 17 Joyal P, Rousseau C. Saddle quantities and applications. *J Differential Equations*, **78**: 374–399 (1989)